

《報文》 HWAHAK KONGHAK Vol. 19, No. 4, August pp. 251—258
 (Journal of the Korean Institute of Chemical Engineers)

Thiobacillus ferrooxidans에 의한 철의 산화반응 기구

김승섭·강웅기
 고려대학교 공과대학 화학공학과
 (접수 1981. 5. 15)

The Kinetics of Ferrous Ion Oxidation by Thiobacillus ferrooxidans

Seung-Sup Kim and Woong Ki Kang
 Department of Chemical Engineering,
 College of Engineering, Korea University, Seoul 132, Korea
 (Received May 15, 1981)

요약

Thiobacillus ferrooxidans에 의한 Fe^{2+} 의 산화반응 kinetics에 대하여 연구하였다. 비가역 자동촉매 반응 모델을 제안하였고 다른 모델과 비교하였다. 제안된 모델의 적응성을 관찰하기 위해 초기 Fe^{2+} 의 농도가 $0.035\sim 0.217\text{N}$ 이고, Fe^{3+} 의 초기 농도는 $0.00372\sim 0.00745\text{N}$ 의 조건에서 실험하였다. 종래의 연구에서는 실험시간이 3시간 이하였는데 본 연구에서는 50~100시간 동안이었다. 실험치와의 비교분석은 적분법과 초기속도법을 이용하였다. 이 분석 결과, 비가역 자동촉매반응 모델이 다른 모델보다 우수함을 관찰했다.

ABSTRACT

The kinetic nature of Fe^{2+} oxidation to Fe^{3+} by Thiobacillus ferrooxidans was studied. An irreversible autocatalytic model was proposed and compared with other models. The experiments were carried out to verify the proposed model.

The duration of a single experimental run was ranged from 50 hrs to 100 hrs(c.f. previously less than 3 hrs). Both the integral and the initial rate methods were used in analyzing the experimental results.

The analysis shows that the proposed irreversible auto-catalytic mechanism is best fitted to the experimental results among the various models.

1. 서 론

최근 금속광산 쟁내수중에 서식하는 철산화 및 유황산화 독립영양형 박테리아가 발견됐고 이것을 이용하여 저품위 광석으로부터 유용금속을 침출하여 회수하는 세균 침출법¹⁾이 연구 개발되어 크게 각광을 받고 있다. 박테리아에 의한 철산화 kinetics에 관한 연구는 1969년 Schnaitman 등²⁾에 의해 종래 생물학자들이 행하는 산소호흡 속도를 측정할 수 있는 Warburg manometry 대신에 Fe^{3+} 의 농도를 쟀 수 있는 비색법을 사용 하므로써 활발해졌다. Schnaitmann 등²⁾은 Ferrobacillus ferrooxidans를 이용하여 반응초기의 10~50분 사이의 분석치를 Michaelis-Menten 모델에 적용하여 k_m 값을 결정했다. 그리고 McGoran 등³⁾은 박테리아의 질소량을 결정할 수 있는 Microkjeldahl 법을 이용하여 위와 같은 분석을 행하였다. McDonald 등⁴⁾은 회분식 반응기와 연속호흡 반응기에서의 Monod 모델을 이용하여 μ 를 구한 후 최소제곱법으로 k_m 을 구하였다.

한편, 1974년 Torma 등⁵⁾은 고체인 Cadmium, Cobalt, Nickel, Zinc Sulfides의 침출에 Monod 모델과 유사한 모델을 제시했다. 한편, Wong 등⁶⁾은 Monot type의 4 가지 모델 중에 Reilly 등⁷⁾이 제시한 통계적 방법을 이용하여 반응초기 2시간 이내의 실험치를 분석 잘 맞는 모델을 분별해냈다.

종래의 연구는 10분에서 2시간 이내의 짧은 반응에서 Michaelis-Menten 모델이나 Monod 모델의 박테리아의 성장과 관련된 모델을 검토하였는데, 본 연구에서는 종래의 모델이 잘 맞지 않는 점을 감안하여 철(II)의 산화반응에 관한 모델을 제시 검토하였다. 실험은 회분식 반응기에서 KMnO_4 측정법과 초기의 연속적인 산화 속도를 구하기 위한 전위차법을 사용하여 산화 속도를 구하였다.

실험치의 분석은 초기속도법과 적분법에 의한 분석을 이용하였다.

2. 미생물에 의한 철산화반응 모델

모델 1. Michaelis-Menten 모델

Michaelis-Menten 모델로부터 Lineweaver-Burk plot를 할 수 있는 식은

$$\frac{1}{V_0} = \frac{K_m}{V_m} \cdot \frac{1}{[S]_0} + \frac{1}{V_m} \quad (1)$$

기호를 바꾸어 쓰면

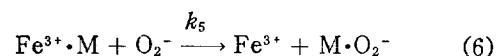
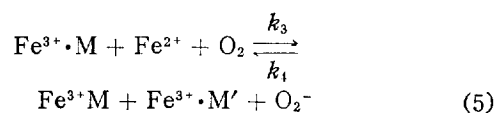
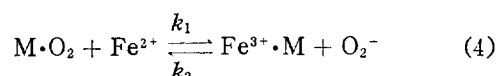
$$-1 / \left(\frac{dC_A}{dt} \right)_{t=0} = \frac{K_m}{V_m} \cdot \frac{1}{C_{A0}} + \frac{1}{V_m} \quad (2)$$

적분하여 Conversion fraction으로 고치면

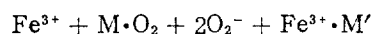
$$X_A = \frac{V_m}{C_{A0}} t + \frac{K_m}{C_{A0}} \ln(1 - X_A) \quad (3)$$

모델 2. 가역 자동촉매작용 모델

이 모델은 1976년 Park¹⁴⁾에 의해 제시되었다. 첫째, 박테리아 M은 산소와 복합체($M \cdot O_2$)를 이룬다 가정하고 그리고 Fe^{3+} 은 박테리아 M과도 복합체($\text{Fe}^{3+} \cdot M$)를 이룬다고 가정한다. 이 두과정은 미생물에 의한 산화과정에 미생물이 복합 가능한 물질과 복합형태에 대한 가정이다 그리하여 이것들에 의하여 Fe^{2+} 가 Fe^{3+} 로 산화된다. 그리고 또한 Fe^{2+} 가 공기중에 있는 산소에 의해 미생물 반응과 무관하게 Fe^{3+} 로 산화될 수 있으므로 가능한 단계반응으로 나누어 쓰면



철산화 반응을 전 반응으로 요약하면



Fe^{2+} 의 산화반응속도는

$$\begin{aligned} -\frac{dC_A}{dt} &= k_1 C_A C_M + k_2' C_N + k_3' C_N C_A \\ &- k_4' C_N^2 \end{aligned} \quad (7)$$

산소 박테리아 복합체($\text{M} \cdot \text{O}_2$)의 생성속도는

$$\frac{dC_M}{dt} = k_2' C_N - k_1 C_A C_M + k_5' C_N \quad (8)$$

이것을 정상상태 균사법으로 Zero로 하면, $\text{Fe}^{3+}\cdot\text{M}$ 박테리아 복합체($\text{Fe}^{3+}\cdot\text{M}$)의 생성속도는

$$\frac{dC_N}{dt} = k_3' C_A C_N - k_4' C_N^2 \quad (9)$$

이것을 식 (7)에 대입하면,

$$-\frac{dC_A}{dt} = \frac{dC_N}{dt} + k_5' C_N \quad (10)$$

그런데 이식의 마지막 항($k_5' C_N$)은 두번째 항 $\text{Fe}^{3+}\cdot\text{M}$ 의 생성율($\frac{dC_N}{dt}$)에 비하여 매우 작다. 이것의 증명은 각 변수의 값을 구한뒤 식 (7)과 식 (9)의 연립 미분방정식을 Euler 방법에 의한 digital computer로 풀었다.¹⁴⁾ 그 결과 $10^3\sim10^5$ 까지 앞항이 컸다. 그려므로 무시하면,

$$-\frac{dC_A}{dt} = \frac{dC_N}{dt}, \quad C_{A0} + C_{N0} = C_A + C_N \\ = \text{Constant} \quad (11)$$

그래서, Fe^{3+} 의 산화율은 Conversion fraction으로 표시하면,

$$\frac{dX_A}{dt} = -C_{A0}(k_3' + k_4')X_A^2 \\ + C_{A0}[k_3'(1-B) - 2Bk_4']X_A \\ + BC_{A0}(k_3' - Bk_4') = -p'X_A^2 \\ + p''X_A + (p'B + p'')B \quad (12)$$

여기서 $p' \equiv C_{A0}(k_3' + k_4')$, $p'' \equiv C_{A0}[k_3' - B(k_3' + 2k_4')]$, $B \equiv C_{N0}/C_{A0}$ 이다.

이것을 초기속도로 표시하면

$$\left(\frac{dX_A}{dt}\right)_{t=0} = (p'B + p'')B = k_3'BC_{A0} \\ - k_4'B^2C_{A0} \quad (13)$$

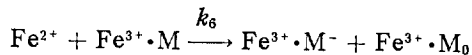
식 (13)을 적분하면

$$X_A = \frac{(1+s)(1-e^{-p''st})p''/2D'}{1 - \frac{1+s}{1-s}e^{-p''st}} \quad (14)$$

여기서, $s = [1 + (1 + p'B/p'') \times 4p'B/p'']^{1/2}$

모델 3. 비가역 자동촉매작용 모델

산화제 작용을 하고, 자신(Fe^{3+})은 Fe^{3+} 로 되면 박테리아에 의해 산화한다는 메카니즘.^{15), 16)} 인데 여기에서는 후자의 메카니즘 속에 포함된다. 이렇게 하여 생성된 Fe^{3+} 은 다른 박테리아와 복합체를 이룬다.



M' 은 cell mass이고 M_0 는 생성된 Fe^{3+} 와 복합체를 이루는 다른 cell mass를 지칭한다. 이것으로부터 Fe^{2+} 의 산화속도는 다음과 같아진다.

$$-\frac{dC_A}{dt} = k_6 C_A C_N \quad (16)$$

$$C_{A0} + C_{N0} = C_A + C_N \equiv Q$$

$$-\frac{dC_A}{dt} = k_6 C_A (Q - C_A) \quad (17)$$

이를 Conversion fraction으로 표시하면,

$$\frac{dX_A}{dt} = k_6 C_{A0}(-X_A^2 + (1-B)X_A + B) \quad (18)$$

초기속도는

$$\left(\frac{dX_A}{dt}\right)_{t=0} = k_6 C_{A0} \cdot B \quad (19)$$

식 (19)를 적분하면

$$\ln \frac{B(1-X_A)}{B + X_A} = -k_6 Q t \quad (20)$$

$$X_A = \frac{B(e^{k_6 Q t} - 1)}{1 + B e^{k_6 Q t}} \quad (21)$$

3. 실험장치 및 측정방법

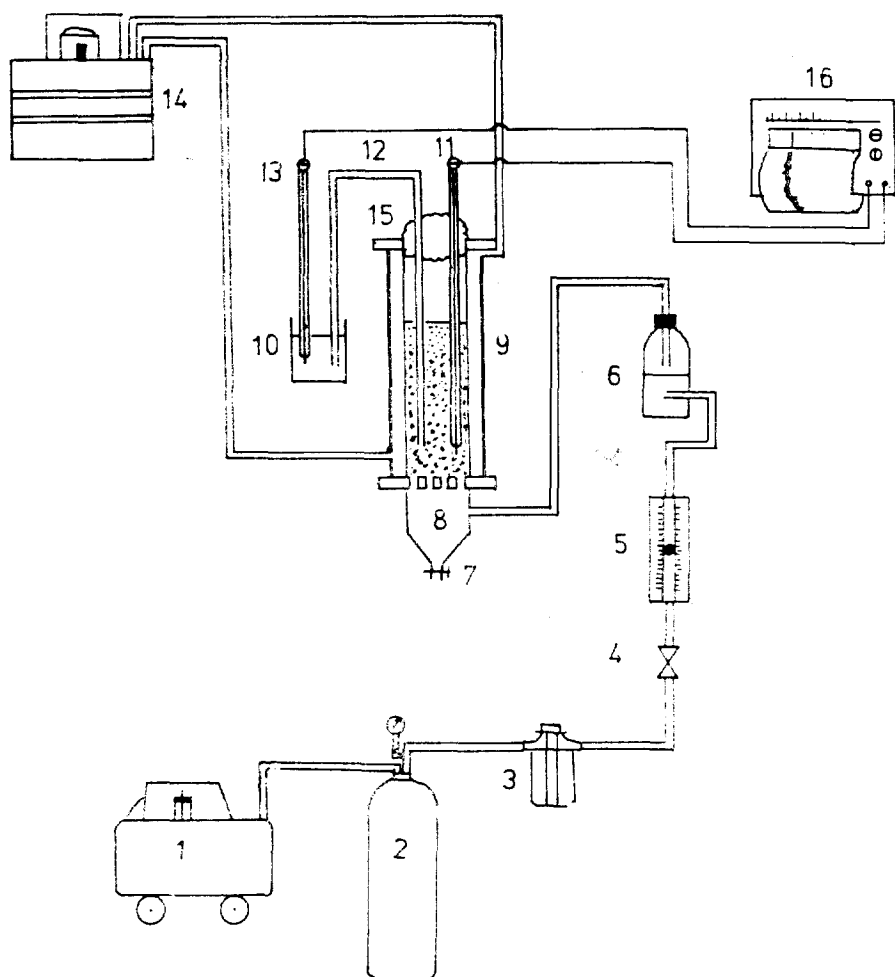
(1) 시료 배양

본 실험에 사용된 Thiobacillus ferrooxidans는 McDonald 등¹⁴⁾이 사용한 종인 ATCC 13598이다.

이것을 포함한 용액 30 cc 정도를 Leathen 등¹⁶⁾과 같은 9 K 배지 1 l에 접종시켰다. 배양온도.

Table 1. Composition of 9K Media

Component	Concentration[g/l]
$(\text{NH}_4)_2\text{SO}_4$	3.0
KCl	0.1
K_2HPO_4	0.5
$\text{MgSO}_4 \cdot 7\text{H}_2\text{O}$	0.5
$\text{Ca}(\text{NO}_3)_2$	0.01
Conc. H_2SO_4	q.s.
$\text{FeSO}_4 \cdot 7\text{H}_2\text{O}$	q.s.



- | | | |
|-------------------------|-----------------------|----------------------|
| 1. Air Compressor | 2. Air storage tank | 3. Air filter |
| 4. Needle valve | 5. Rotameter | 6. Saturation Bottle |
| 7. Drainage Tap | 8. Air Box | 9. Reactor |
| 10. Reference Cell | 11, 13. Pt. Electrode | 12. Salt Bridge |
| 14. Thermostat and Pump | 15. Cotton plug | 16. Recorder |

Fig. 1. Schematic Diagram of Experimental Apparatus

는 30°C 로 하고 $1:8 \text{ H}_2\text{SO}_4$ 로 pH 2로 맞추어 3~4일간 유지시켰다. 배양이 끝난 후의 Fe^{2+} 의 농도와 처음 농도와의 물질수지에 의해 $\text{Fe}^{3+} \cdot M$ 농도가 0.149 N인 세포 혼탁액을 이 실험 전체의 접종액으로 사용했다.

(2) 실험 장치

본 실험에서 사용된 장치는 Fig. 1과 같다.

우선 공기는 압축기에서 나오는 것을 공기트랩을 통과하여 공기여과기를 거친 다음, 침상밸브를 통하여 보정된 로우터미터로 통하여 공기를 공급한다. 반응기의 재료는 아크릴수지이고, 내관의 직경 5 cm 외관 7 cm이다. 반응기 밑에 부착된 공기상자의 다공질판은 아크릴판에 0.5 mm의 구멍을 점대칭적으로 뚫어서 사용했다. 그리고, 백금전극에 부착된 도선은 Potentiometric

Recorder에 연결하여 전위차를 기록했다.

(3) 실험 및 농도측정 방법

1:8 H₂SO₄를 pH 2로 맞춘 후, Fe²⁺의 농도가 다른 9K 배지에 서로 배양된 세균 혼탁액을 부피 %로 각각 5~25%를 넣어 실험했다. Fe²⁺의 농도는 초기치를 쟁 후, 매 5시간마다 5mL씩을 취하여 pH를 낮추어 세균에 의한 산화를 멈추게 한 후에 표정된 0.1N KMnO₄로 적정을 행하였다. 포화공기병을 통하여 공기를 공급하였으나, 공기유량이 67.1mL/sec 일 때 비말동반된 물이 있어 이것을 보정하여 농도를 결정했다. 초기의 속도는 적정한 것과 기록계에 의해 기록한 것을 비교하여 Nernst Equation에 의하여 초기치를 결정했다.

Table 2. Initial concentration and Initial rate data

RUN	Inoculum No. percent(%)	C _{A0} [eq/l]	C _{N0} [eq/l]	Ent. rate [mL/hr]	Initial rate [convesion/ hr]
1	5	0.151	0.0075	1.485	0.00365
2	10	0.141	0.0149	1.65	0.0049
3	20	0.124	0.0298	1.8	0.0063
4	5	0.078	0.0075	1.485	0.0037
5	10	0.072	0.0149	1.65	0.0064
6	15	0.068	0.0224	1.7	0.0011
7	20	0.065	0.0298	1.8	0.0044
8	10	0.217	0.0149	1.65	0.007
9	20	0.192	0.0298	1.8	0.0066
10	25	0.181	0.0373	1.92	0.0135
11	25	0.047	0.0373	1.92	0.0014
12	20	0.035	0.0298	1.8	0.0033
13	20	0.163	0.0298	1.8	0.0037

4. 실험결과 및 고찰

우선 Michaelis-Menten 모델은 식 (2)에 의한 매개변수(V_m , K_m)을 Fig. 2와 같이 Lineweaver-Burk plot로 구했다.

i) plot로 부터 균주의 농도가 20%(V)인 경우, $V_m = 0.0025(N/\text{hr})$ 이고, $K_m = 0.4(N)$ 이다.

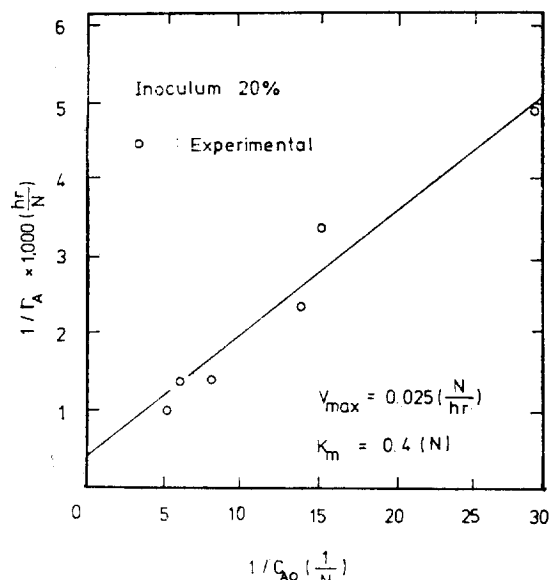


Fig. 2. Lineweaver-Burk plot

었다. 이 매개변수로 부터 식 (3)에 의해 시간에 따른 X_A 를 계산하여 이 모델의 이론치를 산출했다. 모델 2는 식 (13)에 Table 2의 초기치와 초기 속도를 대입하여 매개변수 k_3' , k_4' 를 계산했다. 모델 3은 식 (19)에 Table 2의 초기치와 초기속도를 대입하여 k_6 를 계산했다. 그리고 적분법은 식 (20)에 실험치를 대입하여 k_6 를 계산했다. 그런데 적분법에 의한 해석을 하기 위해서는 모두 130개의 Data가 대입되었다. 그리고 초기 속도법에 의한 해석을 하기 위해서는 regression 법을 사용하였는데, 본 고려대학교 전자계산소의 "TSPOLD"라는 프로그램을 사용하였다. 매개변수의 계산결과는 Table 3과 같다.

Table 3의 값을 모델 2는 식 (14)에 대입하여 시간에 따른 이론치를 산출해냈다. 실험치와 이론치와의 비교는 Fig. 3과 같다.

그림에서 보는 바와 같이 모델 1은 일차반응에 가까우므로 박테리아의 population이 증가함에 따라 산화속도가 커져야 하는데 일정하다. 또한, 이 모델은 긴 시간의 실험에서는 잘 맞지 않음을 $k_0^{(1)}$ 와 Park⁽¹³⁾에 의해 밝혀졌고 Wong 등⁽⁶⁾에 의해서도 지적되었다. 모델 2는 시간이

Table 3. Estimated Parameters by Initial Rate and Integral Method

	Estimated Parameters	Standard Error of Regression	Sum of Residuals
Model 2	$k_3' = 0.2948, k_4' = 0.3175$ (Initial rate method)	0.00808	0.0133
Model 3	$k_6 = 0.1864$ (Initial rate method)	0.00565	0.02578
	$k_6 = 0.1848$ (Integral Method)	1.066	32.334

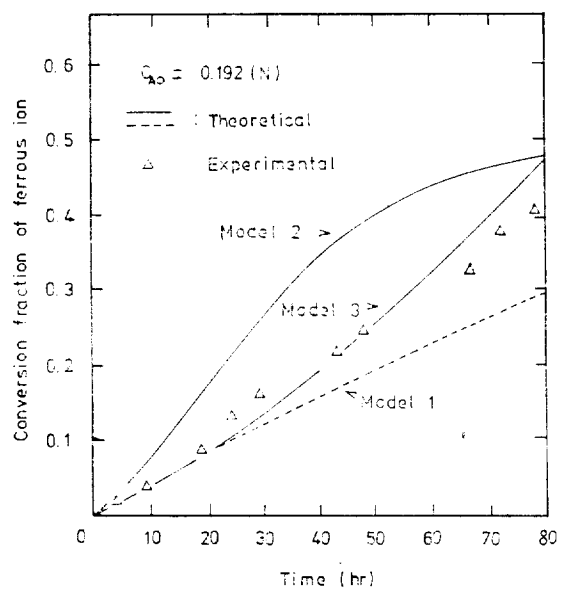
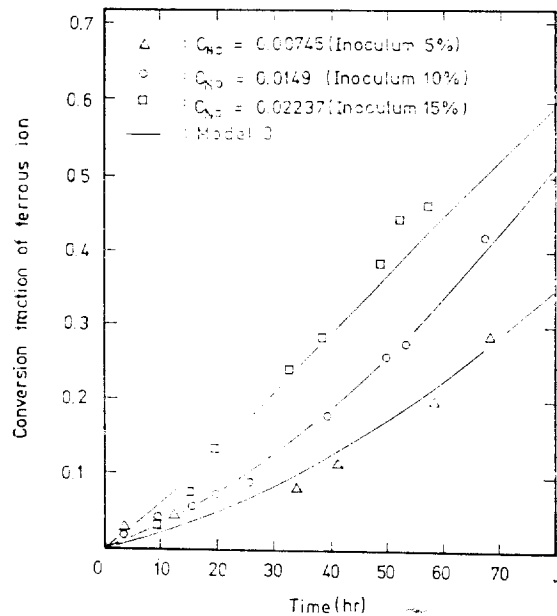


Fig. 3. Comparison of 3 Models by conversion vs. time Curves

Fig. 4. Conversion vs. Time Curve by variation of C_{N0}

증가함에 따라 산화속도가 증가하여야 하는데 처음에는 증가하다가 나중에는 감소함으로써 실험치와 일치하지 않았다. 그리고 모델 3은 초기율 법과 적분법의 parameter 계산치가 일치함을 보여 주었다. 모델 3을 더 고찰해 보면 식 (16)에 의하여 C_{N0} 가 늘어남에 따라 초기속도도 커지고 같은 시간의 Conversion fraction도 커짐을 알 수 있다. 이를 Fig. 4에 모델 3의 이론치와 실현치로 나타내었다.

또한 식 (16)에서 초기 박테리아 Fe^{3+} 복합체의 농도가 일정할 때 초기의 Fe^{2+} 의 농도를 변

화시키면 초기 Fe^{2+} 의 농도가 커짐에 따라 초기 속도로 Conversion fraction도 커짐을 알 수 있다. 이를 Fig. 5에 나타내었다.

그런데 Fig. 4와 Fig. 5의 현상은 Wong 등에 의한 결과와도 일치한다. Fig. 6에서는 같은 초기조건 (C_{N0}, C_{A0})에서의 같은 실험을 5일 간격으로 했을 때의 재현성을 식 (20)을 plot함으로서 나타내었다. 그러나 같은 실험을 2주일 이상의 간격으로 다시 했을 때는 k_6 값이 매우 작아짐을 알 수 있었다.

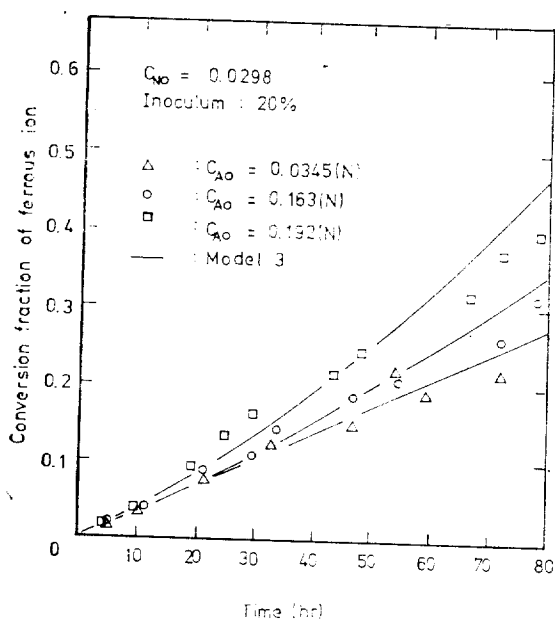


Fig. 5. Conversion vs. time curve by variation of C_{A0}

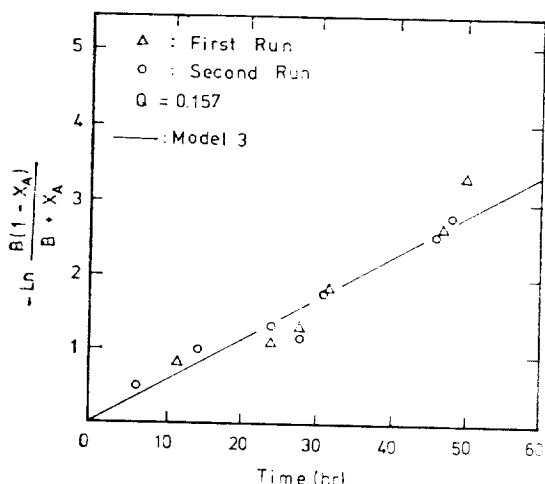


Fig. 6. Comparison of Duplicate Run

5. 결 론

(1) 초기 실험 조건이 $pH = 2.0$ 이고 온도 30°C 이며 Fe^{2+} 의 농도가 $0.035\sim 0.217\text{N}$ 이며, Fe^{3+} 의 농도가 $0.00372\sim 0.00745\text{N}$ 의 범위에서 *Thi-*

*obacillus ferrooxidans*에 의한 직접, 간접 산화 베카니즘인 비가역 자동촉매반응 모델이 초기율 법에 의한 분석과 적분법에 의한 분석으로 다른 모델보다 실험치와 잘 부합하였다.

(2) Fe^{3+} 박테리아의 초기농도가 증가하고 초기 Fe^{2+} 의 농도가 일정할 때 초기속도와 같은 시간의 Conversion fraction이 커진다. 그리고 같은 Fe^{3+} 박테리아 복합체의 초기농도에서도 Fe^{2+} 의 초기농도가 증가함에 따라 초기속도와 Conversion fraction도 커진다.

Nomenclature

B : Ratio of ferric ion-bacteria complex concentration to ferrous ion concentration at initial state

C_A : Ferrous ion concentration (N)

C_N : Concentration of ferric ion-bacteria complex (N)

C_M : Concentration of bacteria-oxygen complex (M)

E : Concentration of enzyme

K_i : Reaction rate constant

K'_i : Product of concentration of oxygen and reaction rate const.

K_m : Michaelis-Menten constant

S : Concentration of essential substrate (M)

t : Reaction time (hr)

V_m : Rate of product(maximum) (M/hr)

V : Rate of product (M/hr)

X_A : Conversion fraction of ferrous ion

Subscript

o : Initial state, $t = 0$

참 고 문 헌

1. S.R. Zimmerly, & D.G. Wilson, U.S. Pat., "Cyclic leaching process Employing iron oxidation bacteria," 2,829,964(1958).
2. C.A. Schnaitman, M.S. Korczynski, &

- D.G. Lundgren, J. Bacteriol., **99**(1969), 552.
- 3) C.J.M. McGoran, D.W. Duncan, & C.C. Walden, Can. J. Microbiol. **15**(1969), 135.
4. D.G. McDonald, & R.H. Clark, Can. J. Chem. Eng. **48**(1970), 669.
5. A.E. Torma, G. Legault, D. Kougioumoutzakis, & R.Ouellet, Can. J. Chem. Eng **52**(1974), 515.
6. C.W. Wong, J.M. Sharer, & P.M. Reilley Can. J. Chem. Eng. **52**(1974), 645.
7. P.M. Reilley, Can. J. Chem. Eng. **48**(1970), 168.
8. R.E. Buchanan, et al., "Bergey's manual of determinative bacteriology," The Williams & Wilkins Company. 8th, Ed. (1974).
9. W.W. Leathen, N.A. Kinsel, & S.A. Braley, J. Bacteriol. **72**(1956), 700.
10. N.A. Kinsel, J. Bacteriol. **80**(1960), 628.
11. M. Silver, Can. J. Microbiol., **16**(1970), 845.
12. J.V. Beck, & F.M. Shafiq, J. Bacteriol., **88**(1964), 850.
13. M. Silver, & A.E. Torma, Can. J. Microbiol., **20**(1974).
14. Pack Chan-Young, Dep. of Chem. Eng. Korea Univ., Thesis for Ph.D. (1976).
15. P.R. Dugan, & D.G. Lundgren, J. Bacteriol., **89**(1965), 825.
16. W.W. Leathen, L.D. McIntyre, & S.A. Braley, SR., Science **114**(1961), 280.
17. Ko Ki-Soo, Dep. of Chem. Eng. Korea Univ. Thesis for M.S. (1976).
18. M.P. Silverman, J. Bacteriol. **94**(1967), 1046.